

一类不确定混沌系统的观测器同步*

陈 晶 张天平

(扬州大学信息工程学院 扬州 225009)

(2005 年 10 月 17 日收到 2006 年 4 月 17 日收到修改稿)

基于降维观测器的方法实现了一类具有外部扰动的混沌系统的同步. 无需知道系统外部扰动项的任何信息, 就可对驱动系统设计基于降维观测器的响应系统, 从而实现了混沌系统的同步. 数值仿真表明该方法是有用的.

关键词: 混沌同步, 混沌系统, 观测器

PACC: 0545

1. 引 言

混沌系统是一种特殊的非线性系统, 由于它对初值具有极度敏感性, 混沌系统的同步曾一度被认为是控制界的难点. 自从 Pecora 和 Carroll^[1,2]于 20 世纪 90 年代初首先提出用 PC 方法实现混沌系统同步后, 混沌同步已经引起了学者们的广泛兴趣, 并随之出现了多种同步方法^[3-9].

近年来, 混沌同步已广泛应用于工程领域, 如保密通信、化学化工、航空航天等领域. 在工程领域中, 观测器方法是一种较为理想的方法^[10-17], 它易于工程实现, 且不需要计算 Lyapunov 指数. 文献 [12, 13] 基于观测器方法实现了混沌系统的同步, 但其设计过程中需要知道系统的精确模型. 文献 [14, 15] 考虑了具有外部干扰的混沌系统的同步, 但需要知道外部干扰的上界. 文献 [16, 17] 考虑了具有外部干扰的混沌系统的同步, 且无需知道系统外部干扰的任何信息. 可是, 文献 [16] 引入了辅助变量, 其设计过程中如果 $m < q$, 则矩阵变换就不可行, 且变换后输出是不可由原系统测出的, 亦即输出不可作为已知的量来设计观测器. 文献 [17] 对系统的非线性项和系统的输出结构有较强的限制条件, 且设计过程较为繁琐.

本文基于一种新的非线性降维观测器设计思想, 对一类具有未知扰动的混沌系统实现了同步.

该方法首先通过矩阵变换将系统的状态方程变为一种特殊的结构, 再通过初等行变换来改变系统输出结构, 最后设计降维观测器实现了系统的同步. 本文设计的方法取消了文献 [17] 中对系统非线性项 $\tilde{f}_2 = 0$ 的限制及对系统输出结构的限制, 且无需引入辅助变量, 设计过程简单.

2. 问题的描述及基本假设

考虑如下—类混沌系统:

$$\begin{aligned} \dot{x}(t) &= Ax(t) + f(X, t) + Dd(t), \\ y(t) &= CX(t), \end{aligned} \quad (1)$$

式中, $X \in R^n$ 为系统的状态, $y \in R^p$ 是系统的输出, $d(t)$ 是未知的外界干扰, $A \in R^{n \times n}$, $D \in R^{n \times m}$, $C \in R^{p \times n}$ 是常数矩阵, $f(X, t)$ 是系统的非线性项.

对系统 (1) 有如下假设:

- (i) (A, C) 是能观测的.
- (ii) $p > m$.
- (iii) $\text{rank}(CD) = m$.

(iv) 系统非线性项满足 Lipschitz 条件

$$\|f(X, t) - f(\hat{X}, t)\| \leq r \|X - \hat{X}\|,$$

其中 r 是已知正常数.

假设 (ii) 表明系统的输出维数大于系统的干扰维数. 假设 (iii) 是数学上的技术假设. 由混沌吸引子的有界性, 假设 (iv) 显然是满足的.

对系统 (1) 进行初等行变换得

* 国家自然科学基金(批准号: 60074013, 10371106), 江苏省教育厅科研基金(批准号: 0310067)和扬州大学信息科学学科群基金(批准号: 030606)资助的课题.

$$\begin{aligned} \begin{bmatrix} \dot{\bar{x}}_1 \\ \dot{\bar{x}}_2 \end{bmatrix} &= \begin{bmatrix} A_{11} & A_{12} \\ A_{21} & A_{22} \end{bmatrix} \begin{bmatrix} \bar{x}_1 \\ \bar{x}_2 \end{bmatrix} \\ &+ \begin{bmatrix} f_1(\bar{X}, t) \\ f_2(\bar{X}, t) \end{bmatrix} + \begin{bmatrix} I_m \\ 0 \end{bmatrix} d(t), \\ y &= [c_1 \quad c_2] \begin{bmatrix} \bar{x}_1 \\ \bar{x}_2 \end{bmatrix}. \end{aligned} \tag{2}$$

这里，

$$\begin{aligned} \bar{X}(t) &= S \cdot X(t), \\ \begin{bmatrix} A_{11} & A_{12} \\ A_{21} & A_{22} \end{bmatrix} &= S \cdot A \cdot S^{-1}, \\ \begin{bmatrix} f_1(\bar{X}, t) \\ f_2(\bar{X}, t) \end{bmatrix} &= S \cdot f(X, t), \\ \bar{X}(t) &= [\bar{x}_1(t) \quad \bar{x}_2(t)]^T, \\ [c_1 \quad c_2] &= C \cdot S^{-1}, \\ S &\in R^{n \times n}. \end{aligned}$$

3. 观测器的设计

考虑系统(2),由假设(ii),假设(iii)可知
 $\text{rank}(CD) = \text{rank}(CS^{-1}SD)$

$$\begin{aligned} &= \text{rank} \left([c_1 \quad c_2] \begin{bmatrix} I_m \\ 0 \end{bmatrix} \right) \\ &= \text{rank}(c_1) = m. \end{aligned} \tag{3}$$

于是对系统(2)的输出进行初等行变换后得

$$\begin{aligned} P_1 y &= P [c_1 \quad c_2] \begin{bmatrix} \bar{x}_1 \\ \bar{x}_2 \end{bmatrix} \\ &= \begin{bmatrix} I_m & b_1 \\ 0 & b_2 \end{bmatrix} \begin{bmatrix} \bar{x}_1 \\ \bar{x}_2 \end{bmatrix}, \end{aligned} \tag{4}$$

$$\begin{bmatrix} P_1 \\ P_2 \end{bmatrix} y = \begin{bmatrix} I_m & b_1 \\ 0 & b_2 \end{bmatrix} \begin{bmatrix} \bar{x}_1 \\ \bar{x}_2 \end{bmatrix},$$

式中 $P \in R^{p \times p}$.

由(4)式得

$$\begin{aligned} P_1 y &= \bar{x}_1 + b_1 \bar{x}_2, \\ P_2 y &= b_2 \bar{x}_2, \end{aligned} \tag{5}$$

即

$$\bar{x}_1 = P_1 y - b_1 \bar{x}_2. \tag{6}$$

将(6)式代入系统(2)得

$$\dot{\bar{x}}_2 = A_{21}(P_1 y - b_1 \bar{x}_2) + A_{22} \bar{x}_2 + f_2(\bar{X}, t). \tag{7}$$

联合(5)(7)式得到 $n - m$ 维的降阶混沌系统

$$\begin{aligned} \dot{\bar{x}}_2 &= (A_{22} - A_{21} b_1) \bar{x}_2 + A_{21} P_1 y + f_2(\bar{X}, t), \\ \tilde{y} &= b_2 \bar{x}_2, \end{aligned} \tag{8}$$

式中 $\tilde{y} = P_2 y$ 是可以通过原系统输出进行测量的. 下面对系统(8)设计观测器,

$$\begin{aligned} \dot{\hat{x}}_2 &= (A_{22} - A_{21} b_1) \hat{x}_2 + A_{21} P_1 y \\ &+ f_2(\hat{X}, t) + L(\tilde{y} - \hat{y}), \\ \hat{y} &= b_2 \hat{x}_2, \end{aligned} \tag{9}$$

将(9)(8)两式相减得

$$\begin{aligned} \dot{e}_2 &= (A_{22} - A_{21} b_1) e_2 + f_2(\hat{X}, t) \\ &- f_2(\bar{X}, t) - L b_2 e_2, \end{aligned} \tag{10}$$

式中 $e_2 = \hat{x}_2 - \bar{x}_2$.

由假设(i)和 $(A_{22} - A_{21} b_1, b_2)$ 是能观测的,如选择适当的 L 则总可使(10)式渐近稳定,那么 $e_2 \rightarrow 0$,亦即 $\hat{x}_2 \rightarrow \bar{x}_2$.

定理 1 对于(10)式,如 L 满足条件

$$\begin{aligned} &(A_{22} - A_{21} b_1 - L b_2 + r I_{n-m})^T \\ &+ (A_{22} - A_{21} b_1 - L b_2 + r I_{n-m}) < 0, \end{aligned} \tag{11}$$

则(10)式是渐近稳定的,亦即系统(9)和(8)渐近达到同步.

证明 取

$$V(t) = e_2^T e_2,$$

对 $V(t)$ 进行求导

$$\begin{aligned} \dot{V}(t) &= \dot{e}_2^T e_2 + e_2^T \dot{e}_2 \\ &= [(A_{22} - A_{21} b_1 - L b_2) e_2 \\ &+ (f_2(\hat{X}, t) - f_2(\bar{X}, t))]^T e_2 \\ &+ e_2^T [(A_{22} - A_{21} b_1 - L b_2) e_2 \\ &+ (f_2(\hat{X}, t) - f_2(\bar{X}, t))] \\ &\leq e_2^T (A_{22} - A_{21} b_1 - L b_2)^T e_2 \\ &+ (f_2(\hat{X}, t) - f_2(\bar{X}, t))^T e_2 \\ &+ e_2^T (A_{22} - A_{21} b_1 - L b_2) e_2 \\ &+ e_2^T (f_2(\hat{X}, t) - f_2(\bar{X}, t)) \\ &\leq e_2^T [(A_{22} - A_{21} b_1 - L b_2)^T \\ &+ (A_{22} - A_{21} b_1 - L b_2)] e_2 \\ &+ 2r \|e_2\|^T \cdot \|e_2\| \\ &= e_2^T [(A_{22} - A_{21} b_1 - L b_2)^T \\ &+ (A_{22} - A_{21} b_1 - L b_2)] e_2 \\ &+ 2re_2^T e_2 \\ &= e_2^T [(A_{22} - A_{21} b_1 - L b_2 + r I_{n-m})^T \end{aligned}$$

$$\begin{aligned}
 &+(A_{22} - A_{21}b_1 - Lb_2 + rI_{n-m})]e_2 \\
 &< -\delta \|e_2\|^2, \tag{12}
 \end{aligned}$$

式中 δ 为足够小的正常数. 由(12)式知 $e_2 \in L_2$. 再由(10)式及混沌系统的特性所有状态有界, 可得

$$e_2 \in L_\infty,$$

$$\dot{e}_2 \in L_\infty.$$

于是由 Barbalat 引理^[18]可知,

$$\lim_{t \rightarrow \infty} e_2(t) = 0.$$

定理得证.

对系统(2)可设计如下的观测器:

$$\begin{aligned}
 \dot{\hat{x}}_2 &=(A_{22} - A_{21}b_1)\hat{x}_2 + A_{21}P_1y \\
 &+ f_2(\hat{X}, t) + L(\tilde{y} - \hat{y}), \tag{13} \\
 \hat{y} &= b_2\hat{x}_2, \\
 \hat{x}_1 &= P_1y - b_1\hat{x}_2.
 \end{aligned}$$

定理 2 满足一定条件的系统(1)通过等价变换为系统(2), 对于系统(2)可设计形如(13)的系统, 使之与系统(2)渐近达到同步.

4. 数值算例

对 Lorenz 系统

$$\begin{aligned}
 \dot{x}_1 &= \sigma(x_2 - x_1) + d(t), \\
 \dot{x}_2 &= rx_1 - x_2 - x_1x_3, \\
 \dot{x}_3 &= x_1x_2 - bx_3, \tag{14}
 \end{aligned}$$

$$y = \begin{bmatrix} 1 & 0 & 1 \\ 2 & 1 & 1 \end{bmatrix} \begin{bmatrix} x_1 \\ x_2 \\ x_3 \end{bmatrix}$$

进行仿真研究, 结果如图 1—图 3 所示.

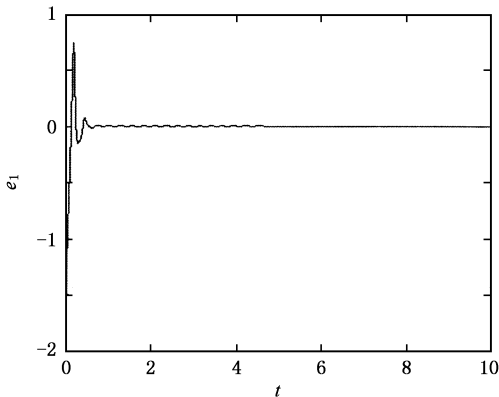


图 1 同步误差 e_1 效果图

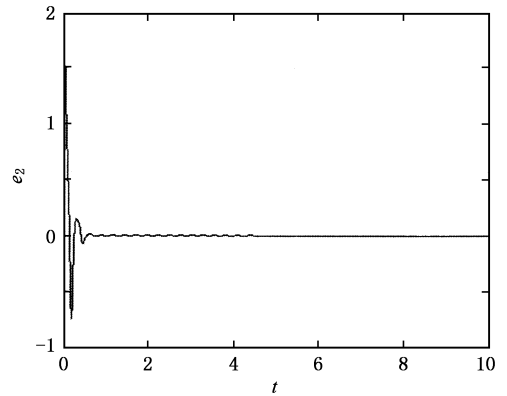


图 2 同步误差 e_2 效果图

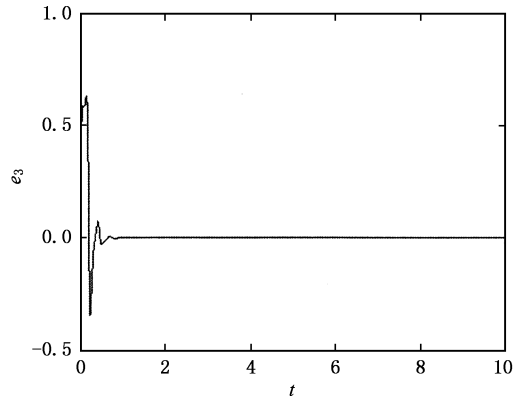


图 3 同步误差 e_3 效果图

在仿真过程中为了设计观测器的需要, 将系统(14)转化为形如系统(1)的形式,

$$\begin{aligned}
 \begin{bmatrix} \dot{x}_1 \\ \dot{x}_2 \\ \dot{x}_3 \end{bmatrix} &= \begin{bmatrix} -\sigma & \sigma & 0 \\ r & -1 & 0 \\ 0 & 0 & -b \end{bmatrix} \begin{bmatrix} x_1 \\ x_2 \\ x_3 \end{bmatrix} \\
 &+ \begin{bmatrix} 0 \\ -x_1x_3 \\ x_1x_2 \end{bmatrix} + \begin{bmatrix} d(t) \\ 0 \\ 0 \end{bmatrix}, \tag{15}
 \end{aligned}$$

$$y = \begin{bmatrix} 1 & 0 & 1 \\ 2 & 1 & 1 \end{bmatrix} \begin{bmatrix} x_1 \\ x_2 \\ x_3 \end{bmatrix},$$

式中 $(\sigma, r, b) = (10, 28, 8/3)$, $d(t) = 5\sin(t)$. 显然, (15)式也满足系统(2)的形式

进一步对输出进行分析,

$$\begin{bmatrix} 1 & 0 \\ -2 & 1 \end{bmatrix} \begin{bmatrix} 1 & 0 \\ 0 & 1 \end{bmatrix} y = \begin{bmatrix} 1 & 0 \\ -2 & 1 \end{bmatrix} \begin{bmatrix} 1 & 0 & 1 \\ 2 & 1 & 1 \end{bmatrix} \begin{bmatrix} x_1 \\ x_2 \\ x_3 \end{bmatrix},$$

$$\begin{bmatrix} 1 & 0 \\ -2 & 1 \end{bmatrix} y = \begin{bmatrix} 1 & 0 & 1 \\ 0 & 1 & -1 \end{bmatrix} \begin{bmatrix} x_1 \\ x_2 \\ x_3 \end{bmatrix},$$

于是可得

$$\begin{bmatrix} 1 & 0 \end{bmatrix} y = x_1 + \begin{bmatrix} 0 & 1 \end{bmatrix} \begin{bmatrix} x_1 \\ x_2 \end{bmatrix}, \quad (16)$$

$$\begin{bmatrix} -2 & 1 \end{bmatrix} y = \begin{bmatrix} 1 & -1 \end{bmatrix} \begin{bmatrix} x_2 \\ x_3 \end{bmatrix},$$

即得到下列降阶系统 :

$$\begin{bmatrix} \dot{x}_2 \\ \dot{x}_3 \end{bmatrix} = \left(\begin{bmatrix} 0 & -r \\ 0 & 0 \end{bmatrix} + \begin{bmatrix} -1 & 0 \\ 0 & -b \end{bmatrix} \right) \begin{bmatrix} x_2 \\ x_3 \end{bmatrix} + \begin{bmatrix} r & 0 \\ 0 & 0 \end{bmatrix} y + \begin{bmatrix} -([1 \ 0]y - x_3)x_3 \\ ([1 \ 0]y - x_3)x_2 \end{bmatrix},$$

$$\tilde{y} = \begin{bmatrix} 1 & -1 \end{bmatrix} \begin{bmatrix} x_2 \\ x_3 \end{bmatrix}. \quad (17)$$

于是,设计如下的观测器 :

$$\begin{bmatrix} \dot{\hat{x}}_2 \\ \dot{\hat{x}}_3 \end{bmatrix} = \left(\begin{bmatrix} 0 & -r \\ 0 & 0 \end{bmatrix} + \begin{bmatrix} -1 & 0 \\ 0 & -b \end{bmatrix} \right) \begin{bmatrix} \hat{x}_2 \\ \hat{x}_3 \end{bmatrix}$$

$$+ \begin{bmatrix} r & 0 \\ 0 & 0 \end{bmatrix} y + \begin{bmatrix} -([1 \ 0]y - \hat{x}_3)\hat{x}_3 \\ ([1 \ 0]y - \hat{x}_3)\hat{x}_2 \end{bmatrix} + L(\tilde{y} - \hat{y}),$$

$$\hat{y} = \begin{bmatrix} 1 & -1 \end{bmatrix} \begin{bmatrix} \hat{x}_2 \\ \hat{x}_3 \end{bmatrix}. \quad (18)$$

由定理 1 则可选择 $L = [-5 \ 10]$. 从仿真结果(图 1、图 2、图 3)可以看出,在存在外部扰动的情况下系统仍能保持良好的同步性能,即表明本文的方法是有效的.

5. 结 论

本文基于观测器的方法,对一类具有外部扰动的混沌系统实现了同步.该方法不需知道外部扰动的任何信息,且研究的混沌系统及其输出驱动信号具有一般性.观测器的设计方法简单,由于设计的是降维观测器,更利于工程应用.仿真结果表明,本文的方法具有较强的鲁棒性和抗干扰能力.

- [1] Pecora L M, Carroll T L 1990 *Phys. Rev. Lett.* **64** 821
 [2] Carroll T L, Pecora L M 1991 *IEEE Trans. Circ. Syst. I* **38** 453
 [3] Wang C C, Su J P 2003 *Chaos Solitons Fract.* **18** 275
 [4] Tao C H, Lu J A, Liu J H 2002 *Acta Phys. Sin.* **51** 1497 (in Chinese)[陶朝海、陆君安、吕金虎 2002 物理学报 **51** 1497]
 [5] Yassen M T 2005 *Phys. Lett. A* **337** 335
 [6] Yin X H, Ren Y, Shan X M 2002 *Acta. Phys. Sin.* **51** 1949 (in Chinese)[尹逊和、任 勇、山秀明 2002 物理学报 **51** 1949]
 [7] Li G H, Xu D M, Zhou S P 2004 *Acta Phys. Sin.* **53** 379 (in Chinese)[李国辉、徐得名、周世平 2004 物理学报 **53** 379]
 [8] Wang C, Ge S S 2001 *Chaos Solitons Fract.* **12** 1199
 [9] Li Z, Han C Z 2002 *Chin. Phys.* **11** 9
 [10] Millerioux G, Daafouz J 2003 *IEEE Trans. Circ. Syst. I* **50** 1270

- [11] Chen M Y, Zhou D H, Shang Y 2005 *Chaos Solitons Fract.* **24** 1025
 [12] Nijmeijer H, Mareels M Y 1997 *IEEE Trans. Circ. Syst. I* **44** 882
 [13] Liu F, Ren Y, San X M *et al* 2002 *Chaos Solitons Fract.* **13** 723
 [14] Liao T L, Tsai S H 2000 *Chaos Solitons Fract.* **11** 1387
 [15] Morgyl O, Solak E 1997 *Int. J. Bifurc. Chaos* **7** 1307
 [16] Guan X P, He Y H, Fan Z P 2003 *Acta Phys. Sin.* **52** 276 (in Chinese)[关新平、何宴辉、范正平 2003 物理学报 **52** 276]
 [17] Feki M, Bruno R 2003 *Chaos Solitons Fract.* **15** 831
 [18] Popov V M 1973 *Hyperstability of Control System* (Berlin: Springer-Verlag)

Synchronization of a class of uncertain chaotic systems by observer^{*}

Chen Jing Zhang Tian-Ping

(*College of Information Engineering, Yangzhou University, Yangzhou 225009, China*)

(Received 17 October 2005 ; revised manuscript received 17 April 2006)

Abstract

This paper investigates the synchronization of a class of uncertain chaotic systems based on reduced-order observer. Without any prerequisite on the nature of the perturbation, a reduced-order observer-based response system is designed for synchronization with the drive system. Numerical simulation shows the effectiveness of the proposed method.

Keywords : chaos synchronization , chaotic systems , observer

PACC : 0545

^{*} Project supported by the National Natural Science Foundation of China (Grant Nos. 60074013 , 10371106) , the Scientific Research Foundation of the Education Bureau of Jiangsu Province , China (Grant No. 0310067) and the Foundaion of Information Science Subject Group of Yangzhou University , China (Grant No. 030606).